

## 目標計画法による貯留関数法改良アルゴリズム

東京芝浦電気株式会社 正員 小館英實  
同 上 荒川卓也

### 1. はじめに

河川流出解析法の一手法に貯留関数法があるが、その電算機プログラム化を試みた。一般に、プログラム化においては専門技術者が何気なく判定していた部分をも明確に数量化することが必要であり、このため作業がむづかしくなっていふ場合が多い。貯留関数法では降雨強度から流出高を算出する中間状態に貯留高を設けるもので、貯留高  $S$  と流出高  $q$  との関係を  $S = K(g - g_i)^P$  の形で仮定し、初期流出高  $g_i$  (および降雨強度) と流出高の実測値から係数  $K$  と  $P$  を決定して、流出追跡計算に移る方法である。この場合、流出解析の目的が洪水対策であるから最高流出高といふ一義ばかりではなく、流量波形が重要であると言われている。しかしながら、流量波形として何ヶ所のいかなる点を合致させらるべきであるという定見が未だ存在していないので、ミニでは最高流出高の他に増水持続時間を考えに入れることにして、これら2種の値を合致させような最適な係数組合せ  $K^*$ ,  $P^*$  を選定する改良アルゴリズムの構築を試みた。2種の単位の量を取扱ひた目的関数の最適化問題に対しては目的関数最適化手法を適用することが望ましいので、その手法の一つである目標計画法を適用することにした。まず、2係数  $K$  と  $P$  の目的関数に対する感度解析を行ない、探索中心格子点を見出す。その中心格子点の近傍に細かに探索格子点を構成して、この中から目的関数を最小とする係数の最適組合せ  $K^*$ ,  $P^*$  を探索するアルゴリズムを付加したものである。具体的適用例として、神流川のデータについて試算した結果を示し、その有効性を明示した。

### 2. 貯留関数法概要<sup>(1)</sup>

本法は水流の連続方程式と貯留関係すなわち貯留量  $S$  と流出高  $q$  の関数関係を基礎としたもので、その概要是以下のようになる。(図1 参照)。

対象流域における平均降雨強度  $r$  と流出高  $q$  との間に次式が成立つ。

$$f \cdot r - (g - g_i)_e = \frac{dS_e}{dt} \quad \dots (1)$$

さらに、次の関係式が成立つものとする。

$$S_e = K \cdot (g - g_i)_e^P \quad \dots (2)$$

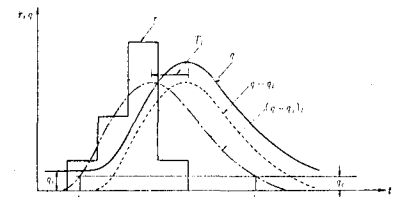


図1 貯留関数法による解析解説図

ここに  $f$ : 流入係数、  $g_i$ : 立上り時の初期流出高、  $T_e$ : 遅滞時間、  $(g - g_i)_e$ :  $T_e$ だけ  $(g - g_i)$  の波形を左に移動させた波形、  $S_e$ :  $f \cdot r$  と  $(g - g_i)_e$  による見かけの流域貯留高、  $K$  と  $P$  は係数。

決定すべきは  $f$ 、  $T_e$ 、  $K$ 、  $P$  の4つである。従来の手計算では次の6ステップで演算が行なわれる。

ステップ1 流出実測高より初期流出高を差引く  $(g - g_i)$ 。

ステップ2  $T_e = T$  ( $T = 0, 1, 2, \dots, T_M$ ) として、  $g_C$  を最高流出高の1~2割の値とし、  $g = g_C$  の直線と  $(g - g_i)_e$  の曲線との交点を時刻  $t_1$  と  $t_2$  ( $t_1 < t_2$ ) とする。

ステップ3  $f$  を算出する ( $f = \int_{t_1}^{t_2} (g - g_i)_e dt / \int_{t_1}^{t_2} r dt$ )。

ステップ4  $S_e$  と  $(g - g_i)_e$  のグラフを画く。増水側と減水側とがよく一致し、一価関数と見なせるグラフを選び、そのときの  $T_e = T_e^*$  を選定する。

ステップ5  $T_e^*$  のときのグラフについて、係数  $K$  と  $P$  を算定する。

ステップ6 ステップ1~5で得られた  $f$ 、  $T_e$ 、  $K$ 、  $P$  を用いて、流出追跡計算を行なう。

上記の演算方法では、  $f$  と  $T_e$  は  $S_e - (g - g_i)_e$  曲線が一価関数となるように前半部で決定されるので、この原則

は守らなければならぬ。一方、後半部の係数KとPは最小2乗法のような数学的取扱いによって決定されるもので、これら2係数の決定に際して改良アルゴリズムの付加が可能であると考えた。

### 3. 改良アルゴリズム

#### 3.1. 目標計画法の適用

2係数KとPの決定を電算機プログラム用いて行なう場合、決定基準としての評価関数を設けなければならぬ。貯留関数法は流量波形を重視するものであるが、通常データは時間単位であるから、「何日何時頃に最高流出高になる」とか、「何日何時頃から何時間増水する」というような厳密さで充分であると考えられる。すなわち、流量波形は横軸に時間、縦軸に流出高となるので、最高流出高についてでは実測値が真( $t_M, q_M$ )、計算値が真( $T_M, Q_M$ )であったとすれば、適合度を表わす指標としてこれら2点の距離 $D_M$ を考え、次式で表わす。

$$D_M = |q_M - Q_M| \quad \cdots (3)$$

ここで $| \cdot |$ は絶対値を表わし、時間の項は $t_M \approx T_M$ が成立つものとして省略している。

一方、流量波形の他の数値について適合度を見たために、時間に亘るすゝものと(2)増水持続時間を考える。今、最高流出高の $\frac{1}{N}$ 倍の流出高( $i=1, 2, \dots, (N-1)$ )の実測値が開始時真( $t_{\frac{i}{N}}^E, q_{\frac{i}{N}}^E$ )、終了時真( $t_{\frac{i}{N}}^S, q_{\frac{i}{N}}^S$ )で、計算値がそれそれ( $T_{\frac{i}{N}}^E, Q_{\frac{i}{N}}^E$ ), ( $T_{\frac{i}{N}}^S, Q_{\frac{i}{N}}^S$ )であるとすれば、これら2つの増水持続時間の差 $D_{\frac{i}{N}}$ は、 $q_M \approx Q_M$ として、

$$D_{\frac{i}{N}} = |(t_{\frac{i}{N}}^E - t_{\frac{i}{N}}^S) - (T_{\frac{i}{N}}^E - T_{\frac{i}{N}}^S)| \quad \cdots (4)$$

2指標 $D_M$ と $D_{\frac{i}{N}}$ の単位を見ると、それぞれ[m<sup>3</sup>/hr], [hr]となっていい。このように単位の異なる量を同時に取扱う時には多目的関数最適化手法を適用することが望ましく、すでに種々の手法が開発され、E-constraint法<sup>(5)</sup>、多目的階層化法<sup>(6)</sup>、Surrogate Worth Tradeoff法<sup>(7)</sup>などの応用も試みられている。ここでは、実測値は式(3)と式(4)で目標値としての役目を有しているので、2種の量を無次元数とし、目標計画法を適用することとし、次の目的関数Iを設定する。(図2参照)。

$$I = \alpha \cdot \left( \frac{q_M - Q_M}{q_M} \right)^2 + \sum_{i=1}^{N-1} \beta_i \cdot \left\{ \frac{(t_{\frac{i}{N}}^E - t_{\frac{i}{N}}^S) - (T_{\frac{i}{N}}^E - T_{\frac{i}{N}}^S)}{(t_{\frac{i}{N}}^E - t_{\frac{i}{N}}^S)} \right\}^2 \quad \cdots (5)$$

ここで、 $\alpha$ と $\beta_i$ ( $i=1, 2, \dots, (N-1)$ )は重み係数で、 $\alpha + \sum_{i=1}^{N-1} \beta_i = 1$ とする。

$\text{Min. } I = I^*$ の時の2係数の最適組合せ $K^*, P^*$ を求める問題となった。

#### 3.2. 前処理としての感度解析

貯留関数法は单一洪水なら簡単であるが、ダブルピークなどの洪水はむずかしいので、单一洪水に限って考える。従来法によって得られた係数KとPを基底とした、最適値 $I^*$ を得るための係数の最適組合せ $K^*, P^*$ を求める手順を考える。対象が解析的ではないので、係数KとPからなる平面で格子点を構成し、その中から最適組合せを求めるという格子探索法を適用する。問題は格子点を如何にして作成するかである。

係数Pについては $0 < P < 1$ 、Kについては $K > 0$ の条件が付されていることを考慮して、格子探索法の中心格子点( $K_m, P_m$ )を目的関数Iと係数KまたはPとの感度解析によって求めめる。まず、Kを従来法によって得た値に固定し、Pを4P% (たとえば5%)ずつ、大まかに変化させてIの値を計算する。その結果を $P-I$ 平面上にたとえば5点プロットすれば、Pの条件内で極小値が存在すると考えられるので、5点に対しおよび曲線の凹はめを行なう。すなわち、最小値 $I_{pn}$ となるPの値を $P_m$ とすれば、次式を得ることが出来た。

$$I(p) = \alpha(P - P_m)^2 + I_{pn} \quad (\alpha > 0) \quad \cdots (6)$$

ついで、 $P=P_m$ と固定して、Kについて同様の解析を行ない、最小値 $I_{kn}$ となるKの値 $K_m$ を得る。

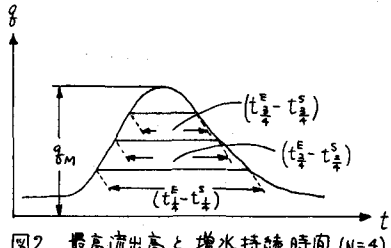


図2. 最高流出高と増水持続時間(N=4)

以上で中心格子点  $(K_m, P_m)$  を得たので、次式によつて細かな格子点を作成する。

$$K = K_m \{ 1 + \Delta K (m - m_0) \} \quad \dots (7)$$

$$P = P_m \{ 1 + \Delta P (n - n_0) \}$$

ここで、 $m = 1, 2, \dots, (2m_0-1)$ ;  $n = 1, 2, \dots, (2n_0-1)$   
( $m_0, n_0$  は正整数) とし、 $0 < \Delta K, \Delta P < 1$  を満す。

結局、格子点  $K_m, P_m$  を中心として  $(2m_0-1) \times (2n_0-1)$  個の格子点を得た。

### 3.3. 改良アルゴリズム全体の流れ図

図3は改良アルゴリズムの全体の流れ図である。ステップ5までの従来法にステップ6~8を挿入したものである。定めるべき  $f, T_e, K, P$  を従来法で決定した後、係数  $K$  と  $P$  に偏り、探索格子点を作成して、これらの格子点について流出追跡計算を行なう。目的関数  $I$  を算定し、その最小値  $I^*$  を選出し、その時の係数  $K$  と  $P$  の最適組合せ  $K^*$  と  $P^*$  を決定するものである。

### 4. 計算例

建設省土木研究所が昭和23年から13年間にわたり神流川流域において観測した資料<sup>(a)</sup>の一部を借用して、本アルゴリズムで計算した結果を示す。

使用データは昭和25年8月4~7日のもので、流域面積373.6 km<sup>2</sup>、 $g_i = 45.5 \text{ m}^3/\text{sec}$ 、 $g_c = 118.3 \text{ m}^3/\text{sec}$  である。流れ図中の定数としては、 $T_{eM} = 5, N = 2, \Delta K = \Delta P = 0.01, m_0 = n_0 = 6$ とした。すなわち、最高流出高とその半分の流出高の増水持続時間までの目的関数の成分とし、 $1 \times 1$  の格子点を作成した。

図4は従来法の流出追跡計算結果で、このときの諸値は  $f = 0.725, T_e^* = 3, K = 14.93, P = 0.9041$ 。 $S_e - (g - g_i)$  曲線は図5.1~3(a)の曲線1である。

図5.1(a)~図5.3(a)、図5.1(b)~図5.3(b)はそれぞれ重み係数  $\alpha = 1.0, 0.75, 0.5$  のときの  $S_e - (g - g_i)$  曲線と流出追跡計算(実線: 実測値、実線: 計算値)である。 $\alpha = 1$  は最高流出高のみを実測値と一致させようとする場合であり、 $\alpha = 0.5$  は目的関数の2成分を同等に考慮しようとしている。図5.1(a)~図5.3(a)の  $S_e - (g - g_i)$  曲線を見ると、 $\alpha$  の値が大きい方が従来法の曲線上からはずれ、取た形をしている。これに対応して図5.1(b)~図5.3(b)の

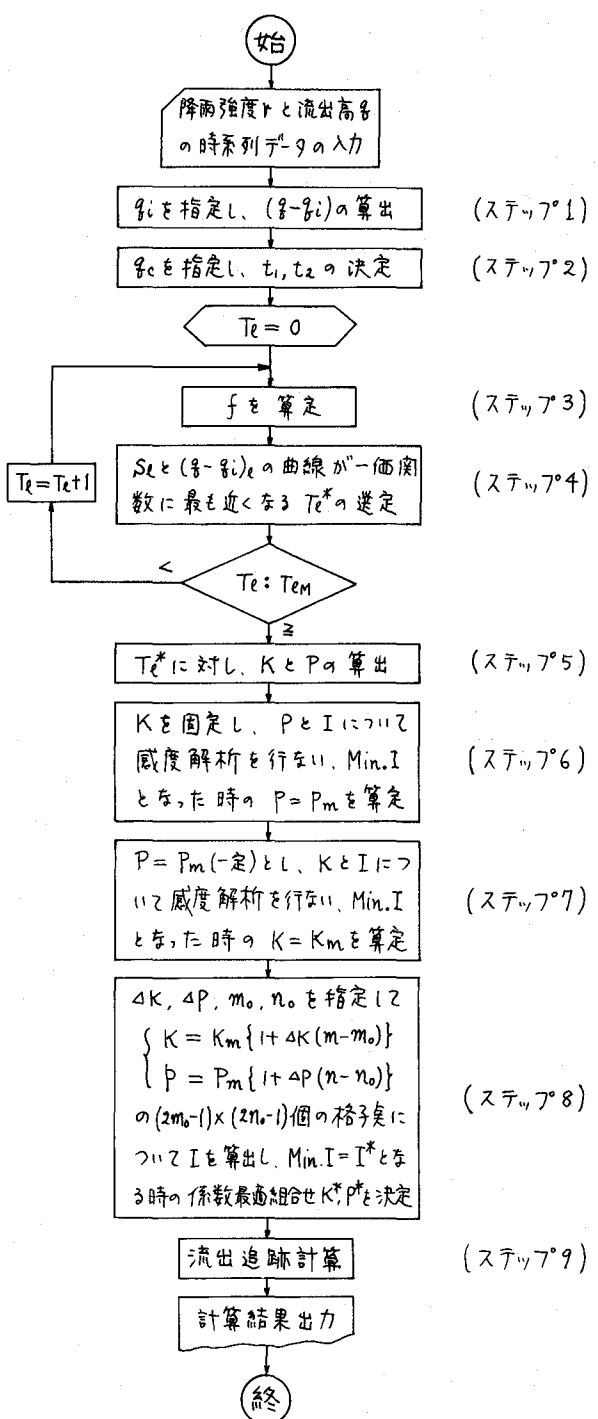


図3. 改良アルゴリズム全体の流れ図

流出追跡計算結果を見ると、図5.1(b)の $\alpha=1.0$ では増水部で增量し、減水部で減量がはげしい。これら3つの $\alpha$ の値を比較すれば、最高流出高と増水持続時間も同様に考慮した場合である $\alpha=0.5$ の流量波形が最も良い結果となった。

### 5. おりに

既に開発されていける解析手法を電算機プログラム化する場合には、その手法がある程度専門的知識や経験に基づいた判定を伴なうものとして構成されてはいるので、多くの場合、付加的アルゴリズムが必要となる。貯留関数法は得た結果としての流量波形を重視してはいるので、最高流出高と増水持続時間の2成分からなる適合度指標と言うべき目的関数を設定し、目標計画法として、一部係数を再決定す。

3という改良アルゴリズムを付加した。本改良アルゴリズムを用いて試算したところ、より良い流量波形を得ることが出来た。

### [参考文献]

- (1) 土木学会編「水理公式集(昭和46年度改訂版)」昭和49年1月発行。
- (2) 建設省土木研究所編「神流川流域水文観測資料」昭和43年1月発行。
- (3) H. Kodate, "A Two-objective Optimization on Operation of a Service Water Transmission System", Proceedings of ICCS-78, PP. 709~714, Oct., 1978.
- (4) 小館英實「上水道送水系の多目的階層化による最適運用法」昭和52年電気学会全国大会講演集、No.1678, 昭和52年7月。
- (5) 石川真澄、他「多目的計画における迷好解探索」電気学会論文誌、Vol. 98-C、No.12、昭和53年12月。
- (6) 高橋裕「河川水文学」P.78、共立出版、昭和53年4月発行。

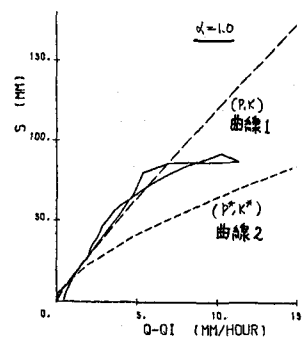


図5.1(a).  $Se - (f - f_i)$ 曲線

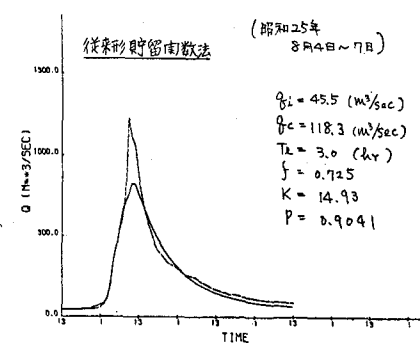


図5.1(b). 流出追跡計算結果

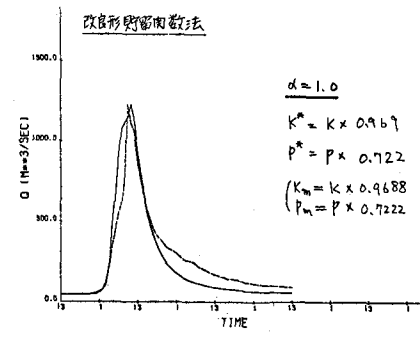


図5.1(b). 流出追跡計算結果

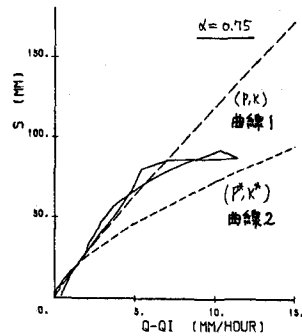


図5.2(a).  $Se - (f - f_i)$ 曲線

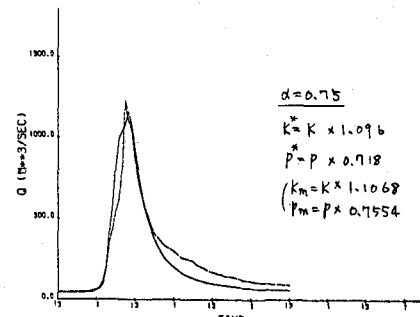


図5.2(b). 流出追跡計算結果

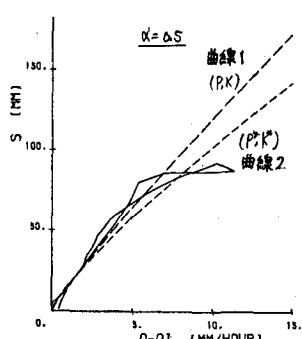


図5.3(a).  $Se - (f - f_i)$ 曲線

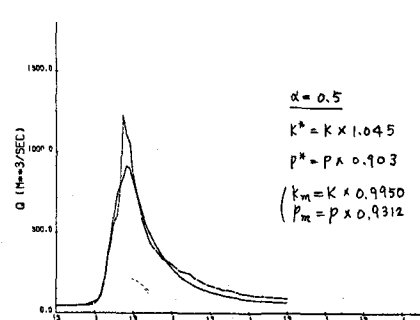


図5.3(b). 流出追跡計算結果